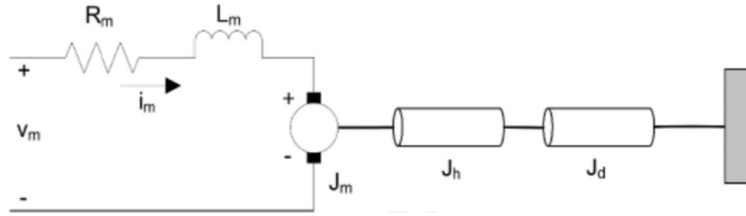


自控实验预习报告

1 建模

1.1 公式推导

如图的电机



如果认为电感远小于电阻，得到

$$V_m(t) - R_m i_m(t) - e_b(t) = 0$$

其中 $e_b(t) = K_e w_m(t)$ 是电机的电压，右边是反电动势常数和电机转速，带入对上式进行 Laplace 变换，得到

$$I_m(s) = \frac{V_m(s) - K_e W_m(s)}{R_m} \quad (1-1)$$

又知电机的转速与负载质量和输出扭矩的关系是

$$J_{eq} \dot{w}_m(t) = K_t i_m(t) \Rightarrow J_{eq} s W_m(s) = K_t I_m(s) \quad (1-2)$$
$$J_{eq} = J_m + J_h + J_d, \quad J = \frac{1}{2} m r^2$$

联立式(1-1)和(1-2)得到转速关于电压的传递函数

$$\frac{W_m(s)}{V_m(s)} = \frac{\frac{1}{K_e}}{\frac{J_{eq} R_m}{K_e K_t} s + 1} \quad (1-3)$$

若输入电压为阶跃信号，即 $V(t) = A u(t)$ ，得到转速的阶跃响应

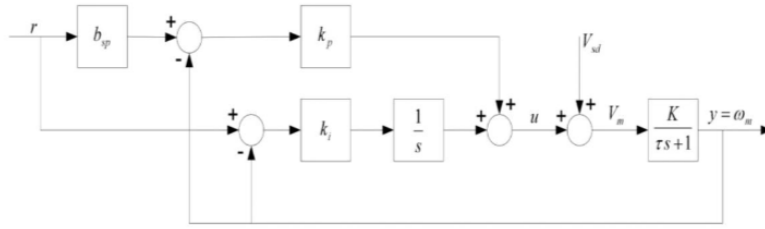
$$W_m(s) = \frac{A}{K_e} \cdot \frac{1}{s} - \frac{A}{K_e} \cdot \frac{1}{s + \frac{K_e K_t}{J_{eq} R_m}} \quad (1-4)$$

$$w_m(t) = \frac{A}{K_e} u(t) - \frac{A}{K_e} e^{-\frac{K_e K_t}{J_{eq} R_m} t} u(t) \quad (1-5)$$

2 比例积分速度控制

2.1 公式推导

系统框图如下图



在无扰动条件下，即 $V_{sd} = 0$ 时，系统的传递函数为

$$H(s) = \frac{W_m(s)}{R(s)} = K \cdot \frac{(b_{sp}k_p s + k_i)}{\tau s^2 + (Kk_p + 1)s + Kk_i} \quad (2-1)$$

使用梅逊公式，该系统的前向通路是

$$P_1 = b_{sp}k_p \frac{K}{\tau s + 1}, \quad P_2 = k_i \frac{1}{s} \frac{K}{\tau s + 1}$$

回路是

$$L_1 = -k_p \frac{K}{\tau s + 1}, \quad L_2 = -k_i \frac{1}{s} \frac{K}{\tau s + 1}$$

二者相互接触，且分别和 P_1, P_2 接触，那么 Δ 为

$$\Delta = 1 + k_p \frac{K}{\tau s + 1} + k_i \frac{1}{s} \frac{K}{\tau s + 1}$$

$$\Delta_1 = \Delta_2 = 1$$

系统的传递函数为 $\frac{W_m(s)}{R(s)} = \frac{P_1 \Delta_1 + P_2 \Delta_2}{\Delta}$ ，带入即可

对于这个二阶系统，刻画系统的数学量为

$$\omega_n = \sqrt{\frac{Kk_i}{\tau}} \quad (2-2)$$

$$\zeta = \frac{Kk_p + 1}{2\sqrt{Kk_i}\tau} \quad (2-3)$$

2.2 实验练习

改变 k_p 变化产生的性能差异

当 k_p 减小时，比例控制的作用减小，系统的响应速度变慢，但是振荡会减小，超调量更小，稳定性提高；当其增大时变化相反，系统的振荡和超调量更大，但是响应更快，稳定性不太好说，应该是降低的。

计算当 $\zeta = 0.75, \omega_0 = 16.0 \text{ rad/s}$ 时的峰值时间 t_p 和最大过调量 M_p

$$\text{峰值时间 } t_p = \frac{\pi}{\omega_d} = \frac{\pi}{\omega_n \sqrt{1-\zeta^2}} = 0.297 \text{ s}$$

$$\text{最大过调量 } M_p = e^{-\frac{\pi\zeta}{\omega_d}} \times 100\% = e^{-\frac{\pi\zeta}{\sqrt{1-\zeta^2}}} \times 100\% = 2.84\%$$

稳态增益 $K = 26 \text{rad/V/s}$, 时间常数 $\tau = 0.145 \text{s}$, 在满足上题的指标下, 计算比例和微分控制增益 k_p, k_i

$$\omega_n = \sqrt{\frac{Kk_i}{\tau}}, \zeta = \frac{Kk_p + 1}{2\sqrt{Kk_i\tau}}, \text{ 带入得到 } k_i = 1.43 \text{V/rad}, k_p = 0.0955 \text{V} \cdot \text{s/rad}$$

增加 ζ 对实测的速度响应有什么影响? 控制增益怎么样?

当 ζ 增大时, 上升时间**变大**, 峰值时间**不变**, 最大过调量**减小**, 调整时间**减小**。

响应速度变慢, 但是系统变得稳定。控制增益 k_p **变大**, k_i **不变**。

增加 ω_n 对实测的速度响应有什么影响? 控制增益怎么样?

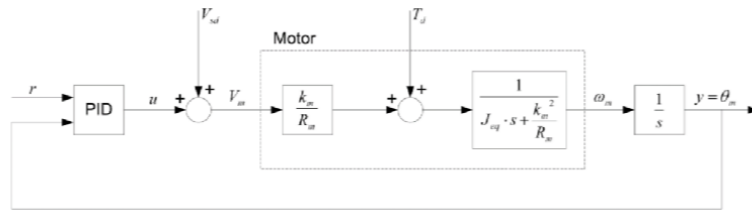
当 ω_n 增大时, 上升时间**减小**, 峰值时间**减小**, 最大过调量**不变**, 调整时间**减小**。

响应速度变快。控制增益 k_p **增大**, k_i **增大**。

3 比例微分速度控制

3.1 公式推导

系统框图如下



只考虑PD控制的作用下

$$U(s) = PID(R(s), Y(s)) = k_p (b_{sp}R(s) - Y(s)) + k_d s(b_{sd}R(s) - Y(s))$$

在无扰动的条件下, 即 $V_{sd} = 0, T_d = 0$ 时, 系统的传递函数为

$$H(s) = \frac{\Theta_m(s)}{R(s)} = \frac{k_m(k_p b_{sp} + k_d b_{sd} s)}{R_m J_{eq} s^2 + (k_m k_d + k_m^2) s + k_m k_p} \quad (3-1)$$

$$\text{其中 } \tau = \frac{R_m J_{eq}}{k_m^2}, K = \frac{1}{k_m}$$

相应的刻画系统特征的数学量为

$$\omega_n = \sqrt{\frac{k_m k_p}{R_m J_{eq}}} \quad (3-2)$$

$$\zeta = \frac{k_m k_d + k_m^2}{2\sqrt{R_m J_{eq} k_m k_p}} \quad (3-3)$$

3.2 实验练习

计算当 $\zeta = 0.60$, $\omega_0 = 25.0\text{rad/s}$ 时的峰值时间 t_p 和最大过调量 M_p

$$\text{峰值时间 } t_p = \frac{\pi}{\omega_d} = \frac{\pi}{\omega_n \sqrt{1-\zeta^2}} = 0.157\text{s}$$

$$\text{最大过调量 } M_p = e^{-\frac{\pi\zeta}{\omega_d}} \times 100\% = e^{-\frac{\pi\zeta}{\sqrt{1-\zeta^2}}} \times 100\% = 9.49\%$$

稳态增益 $K = 26\text{V/rad}$, 时间常数 $\tau = 0.145\text{s}$, 在满足上题的指标下, 计算比例和微分控制增益 k_p, k_d

$$\omega_n = \sqrt{\frac{Kk_p}{\tau}}, \zeta = \frac{k_d + 1/K}{2\sqrt{\frac{\tau k_p}{K}}}, \text{ 带入得到 } k_p = 3.49\text{rad/s/V}, k_d = 0.129\text{rad/V}$$

更改 ζ 对测量的位置响应和产生的控制增益有什么影响

更改 ζ 会对响应曲线的形状产生显著的影响, 这里假定 $\zeta < 1$ 。当 ζ 减小时, 上升时间**减小**, 峰值时间**不变**, 最大过调量**增大**, 调整时间**增大**; 当 ζ 大于1时, 系统变成过阻尼, 响应太慢, 一般不会在这个区间内。

对于位置响应, 响应**变快**, 但是**更不稳定**; 对于控制增益, k_p **增加**, k_d **减小**。这是在 ζ 减小的情况下而言的。

更改 ω_n 对测量的位置响应和产生的控制增益有什么影响

更改 ω_n 也会对响应曲线造成影响, 当 ω_n 减小时, 上升时间**增大**, 峰值时间**增大**, 最大过调量**不变**, 调整时间**增大**。

对于位置响应, 响应**变慢**, 但是**变得稳定**; 对于控制增益, k_p **减小**, k_d **不变**。这是在 ω_n 减小的情况下而言的。

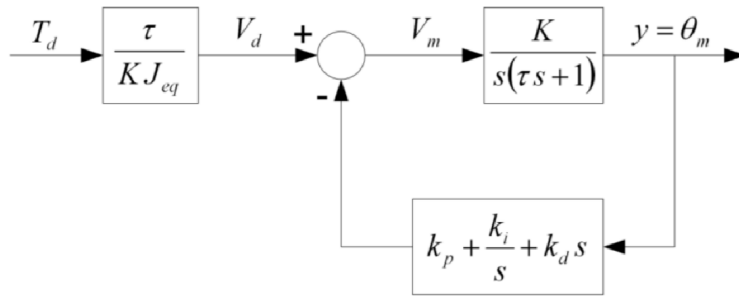
设置 $k_p = 1.5\text{V/rad}$, 仅用比例增益, 描述系统对阶跃输入的稳态误差

$R(s) = \frac{1}{s}, k_d = 0$, 利用终值定理得到 $y_s(\infty) = 1$, 稳态误差为0

4 跟踪和扰动抑制

4.1 公式推导

当存在扰动时的系统框图如下



在无参考输入、存在误差的情况下，即 $U(s) = 0, V_d, T_d \neq 0$ ，系统的传递函数为

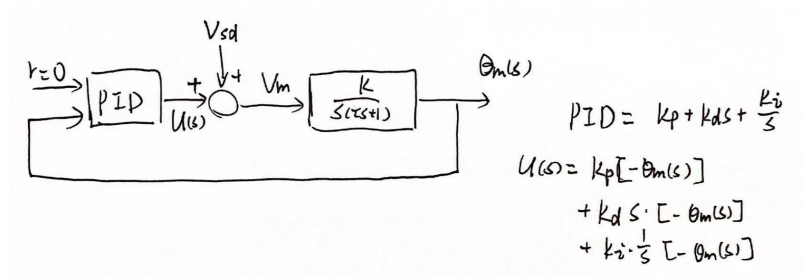
$$H(s) = \frac{\Theta_m(s)}{T_d(s)} = \frac{\tau}{J_{eq}} \cdot \frac{s}{\tau s^3 + (Kk_d + 1)s^2 + Kk_p s + Kk_i} \quad (4-1)$$

当外界扰动近似为阶跃输入，即 $T_d(s) = \frac{A}{s}$ 时，系统的稳态输出为

$$\theta_s(\infty) = \lim_{s \rightarrow 0} s H(s) T_d(s) = 0 \quad (4-2)$$

4.2 实验练习

没有参考信号，扰动是模拟扰动电压 V_{sd} ，给出整个系统的框图



此时的闭环传递函数为

$$\frac{\Theta_m(s)}{V_{sd}(s)} = \frac{Ks}{\tau s^3 + (Kk_d + 1)s^2 + Kk_p s + Kk_i}$$

当在 PID 控制下，电机的稳态转角为0，在 PD 控制下，电机的稳态转角为 $\frac{V_{sd0}}{k_p} = 1.5\text{rad}$

解释积分作用下扰动响应差异

积分器为系统引入了一个 $z = 0$ 的开环零点，消除了主导极点的作用